

大阪大学 正員 渡田凱夫
大阪大学大学院 学生員 小林健三

I. まえがき

大阪大学において、昨年来、腹板厚の小さな「箱形プレートガーダー」に関する一連の実験的研究を行ない、その結果を報告してきた。今回くりかえし荷重下での挙動を知るため、腹板の板厚比を3種類変化させた試験桁を製作し疲労実験を行なった。アメリカにおける同種の研究結果等と比較し本試験結果の概要について報告する。

II. 実験概要

疲労試験に使用した試験桁は、形状比0.5に対し3種類の板厚比200, 225, 250の4体で、テストパネルの諸元は表1に示した。諸元は曲げ耐荷力に関する実験に使用したパネルと全く同じものである。疲労実験の場合どの箇所からきれいを生じるのか全くわからないので支持桁を使用せず、支向7.7°ガーダーとて試験桁を用いた。試験桁の一般図は図1に示す如くで、2点載荷で一定の曲げモーメントを受けける部分の中央のパネルが「テストパネル」とある。

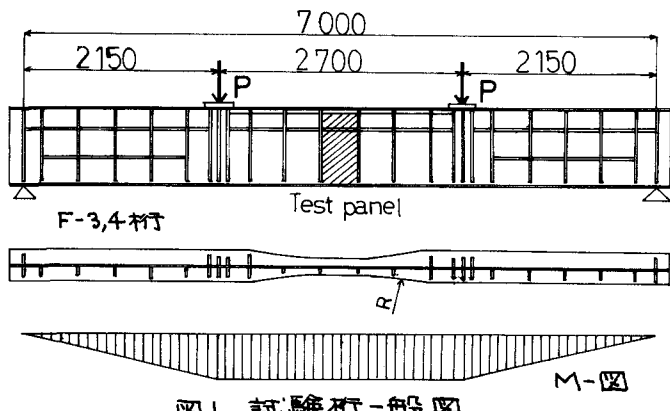


図1 試験桁一般図

	F-1	F-2	F-3,4
材質	SM50A	SM50A	SM50A
腹板厚 (mm)	3.2	3.2	3.2
腹板高 (mm)	640	720	800
補剛材 間隔 (mm)	320	360	400
板厚比	200	225	250
形状比	0.5	0.5	0.5

表1 試験桁諸元

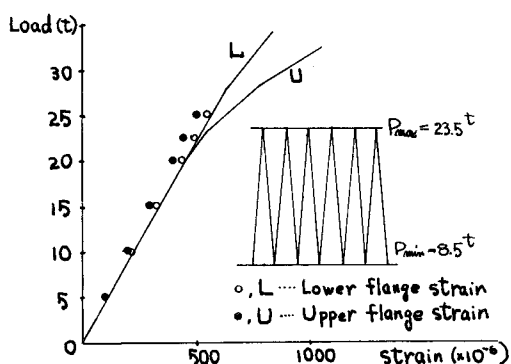


図2 F-3柱下フランジひずみ

試験桁	載荷荷重 $P(t)$	フランジ応力 (M_0/t^2)	応力振巾 ($\%E$)
F-1	$P_{min} = 8$	$\sigma_{min} = 1010$	1390
	$P_{max} = 19$	$\sigma_{max} = 2400$	
F-2	$P_{min} = 9$	$\sigma_{min} = 998$	1330
	$P_{max} = 21$	$\sigma_{max} = 2328$	
F-3	$P_{min} = 8.5$	$\sigma_{min} = 837$	1476
	$P_{max} = 23.5$	$\sigma_{max} = 2313$	
F-4	$P_{min} = 10$	$\sigma_{min} = 984$	1231
	$P_{max} = 22.5$	$\sigma_{max} = 2215$	

表2 載荷荷重、応力振巾

載荷荷重は実験を参考にして決定した。即ち下限荷重 P_{min} は実験の死荷重応力から算定した。上限荷重 P_{max} はフランジひずみの直線性を失わない最高の点から選んだ。図2に曲げ耐荷力試験結果のフランジひずみと、今回の疲劳実験との比較を示す。○が今回の実験値である。このようにして決定した P_{max} 、 P_{min} 及びこの荷重によつて生ずる下フランジ応力、応力振幅を表2に示す。 P_{max} は曲げ耐荷力試験結果、得られた圧縮フランジ降伏荷重の約 60%～70%に相当する。動的載荷は毎分 260～280回のくりかえしで行なつた。

III. 実験結果と考察

(1). 疲れきれつ

試験行のきれつ図を図3～6に示す。又、各行の第1きれつ発生時のくりかえし回数、破壊様式を表3に示す。

試験行	くりかえし回数	破壊様式
F-1	200.0	テストパネルの垂直スチフナーとウェブの腹肉密接部のウェブ側に 8.0mm と 4.5mm の 2 本のきれつが発生。その後 211.8 回で下フランジに進行し、224.1 回でフランジは破断。(図3参照)
F-2	234.0	載荷点外側のパネルの垂直スチフナーとウェブの腹肉密接部のウェブ側から水平方向と 60° の方向にきれつが発生。その後、きれつはウェブの上方へと、ウェブ、下フランジの腹肉密接部(ウェブ側)に沿って進行するが、各行の剛性低下のため 248.0 回で載荷を中止。(図4参照)
F-3	190.2	くりかえし回数 190.2 回で下フランジの断面変化点でフランジが破断。同時に同じパネル内の垂直スチフナーとウェブの腹肉密接部のウェブ側に 5.4mm のきれつを発見。(図5参照)
F-4	130.0	テストパネルの下フランジ側縁のプローブよりきれつが発生。発見時には 4.9mm のきれつが 131.5 回にはウェブの反対側に進行し、131.9 回でフランジは破断。(図6参照)

表3 試験行の破壊様式

(2). 繰り返しウェブの挙動

実験に用いた試験行は、腐病板厚比が大きくウェブの横揺れが大きいと予想されたが、大きな側方変形はなかった。これは形状比が 0.5 と小さいこと、及び水平スチフナーをとりつけたことにより、ウェブのはらみ出しを抑制したものと思われる。図7にテストパネル中央部のウェブの側方変形を示す。図において 0° はウェブの初期変形を表わしている。

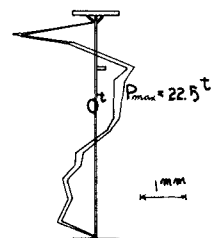


図7 F-4 行の
ウェブ側方変形

(3). 試験行の剛性の変化

くりかえし回数が増大するにつれて、即ち荷が疲労するにつれて行の曲げ剛性がどのように変化するかを、行の内み、フランジひずみの点から調べてみた。きれつと生じるまでは、静的な曲げ剛性は変化しないことがわかった。

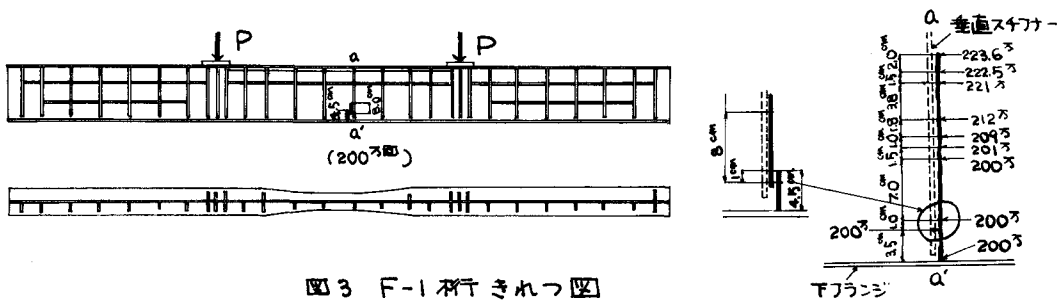


図3 F-1 行きれつ図

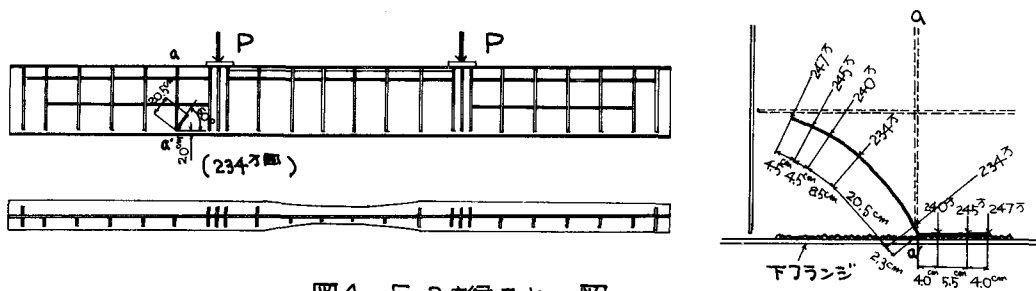


図4 F-2 材行きれつ図

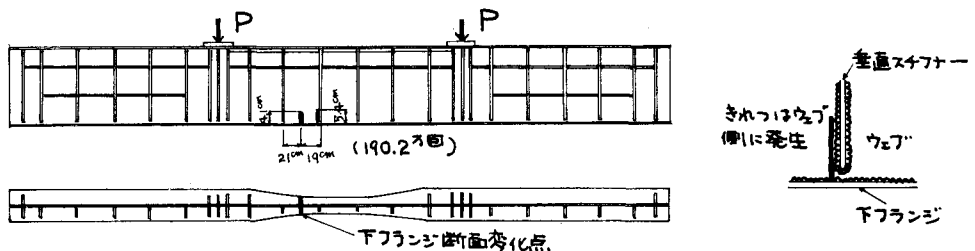


図5 F-3航行されつ図

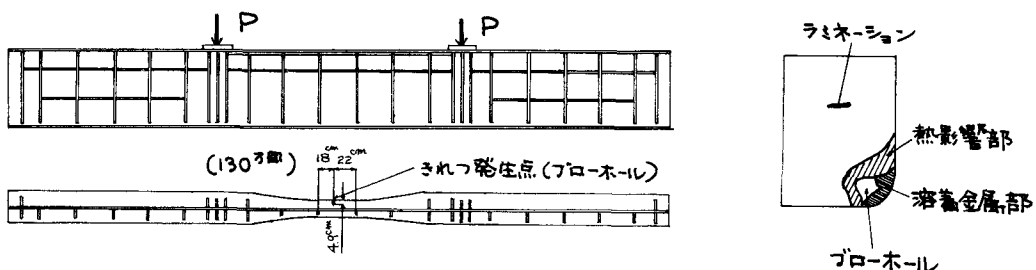


図6 F-4航行きれつ図

(4). ブローホール

F-4桁は、くりかえし回数130^万と非常に早い回数で引張フランジ側縁からきれつが発生し、破断した。実験後、詳しく調べたところ、図6に示す如く溶接補修時の切り欠きによるブローホールがあり、これがきれつの原因となった。

IV. 既応の研究結果との比較

(1). Topracの研究^②

Topracにおける実物大の Hybrid-Girder

の疲労実験を行ない、純曲げを受ける桁に対して疲労きれつを表4のように分類している。この分類法に従って今回の実験結果を整理すると、F-1桁は2型、F-3桁は2型と3c型、F-4桁は3b型となる。F-2桁は載荷点外できれつを生じ、曲げとせん断を受けていることになり、この分類にはあてはまらない。1型きれつはプレートガーダー特有のものであるが、今回の実験ではウェブの側面変形が小さかったのでこのきれつは生じなかつた。

(2). Gurneyの研究^③

Gurneyは小型のプレートガーダーを用いて、純曲げを受ける場合、曲げとせん断を受ける場合のS-N線図を求めた。図8に主応力振巾で表わしたS-N線図を示す。BM系は純曲げを受ける系列、BS系は曲げとせん断を受ける系列のS-N線である。今回の実験値を●でプロットしてあるが、比較的よく合っているように思われる。

種別	きれつの発生状況とその特性
1型	ウェブの側面変形に起因し、ウェブの凸変形(引張部)に発生する。桁の耐荷力に影響しない。
2型	スチフナー溶接止端部に発生し、上下に発達する。1型より進行が遅く、引張フランジに達したとき終局破壊を招く。
3a型	フランジウェブ溶接線に発生、隅肉溶接とけこみ部の応力集中に起因。
3b型	引張フランジの側縁に発生、桁製作時の微細な切り欠きに起因。
3c型	引張フランジの断面変化点に発生、断面変化による応力集中に起因。

表4 Topracのきれつ分類表

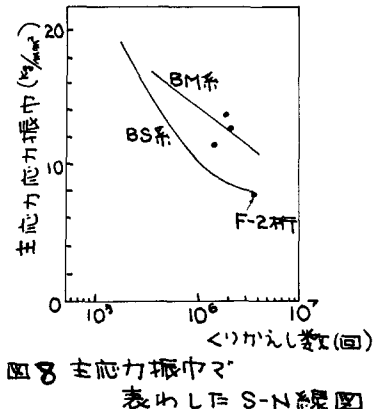


図8 主応力振巾
表めし S-N 線図

参考文献

- ①. 前田、久保、"プレートガーダーの曲げ耐荷力に関する実験的研究"

第23回土木学会年次講演概要集 S43

- ②. H.S.Lew,A.A.Toprac, "Fatigue Strength of Hybrid Plate Girders under Constant Moment"
Hyway Research Record, No.67, 1967

- ③. T.R.Gurney, "Investigation into the Fatigue Strength of Welded Beams"
British Welding Journal, Sep, 1962